

но-Российский вестник геологии, географии глобальной энергии. – 2004. – № 3 (9). – С. 159–163.

10. Яншин А. Л. Геология Северного Приаралья. Стратиграфия и история геологического развития / А. Л. Яншин // Материалы к познанию геологического строения СССР. – М. : Изд-во Моск. о-ва испыт. природы, 1953. – Вып. 15 (19). – 675 с.

АНАЛОГОВЫЙ ПРОГНОЗ НЕФТЕГАЗОНОСНОСТИ ПАЛЕОЗОЯ КАСПИЙСКОГО МОРЯ

**А.О. Серебряков, профессор, заведующий кафедрой
геологии и геохимии горючих ископаемых
Астраханский государственный университет,
тел.: (88512)52-49-99*131; e-mail: geologi2007@yandex.ru**

Рецензент: Бакирова С.Ф.

Исследованы геологическое строение и нефтегазоносность месторождений-гигантов, которые могут служить структурными аналогами в акватории Каспийского моря.

Geological structure and oil and gas bearing of fields-giants have been studied that can serve as structural analogues in the Caspian sea.

Ключевые слова: прогноз, нефтегазоносность, палеозой, Каспийское море, аналогия.

Key words: prospect, oil and gas bearing, Paleozoic, the Caspian sea, analogy.

В последние годы осуществляются интенсивные геологоразведочные работы по освоению нефтегазовых ресурсов северной акватории Каспийского моря, в пределах которого выявлено гигантское нефтяное месторождение Кашаган, являющееся структурно-тектоническим морским продолжением Тенгиз-Кашаганской систем поднятий. Тенгизское месторождение расположено в зоне перехода «Море-берег», его скважины – в непосредственной близости от акватории, вследствие чего уточнение геологического строения и нефтегазоносности Тенгиз-Королевского нефтяного гиганта имеет непосредственное значение для детального изучения акватории Каспийского моря.

Тенгизское и Королевское месторождения представляют собой карбонатную платформу, состоящую из карбонатных массивов ранне- и среднекаменноугольного возраста, расположенных на общем девонском карбонатном основании. В географическом плане месторождения расположены в юго-восточной части Прикаспийской нефтегеологической провинции и тектонически приурочены к Тенгиз-Кашаганской сейсмогеологической области.

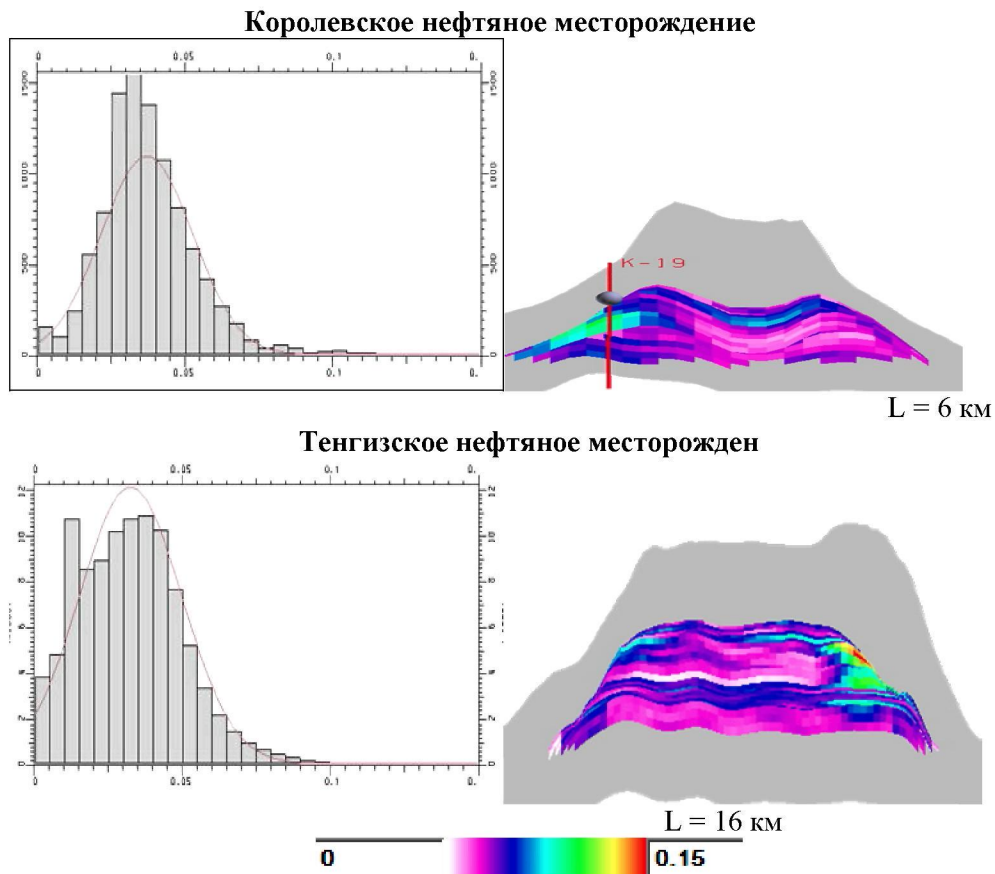


Рис. 1. Геологическая модель объемов Тенгиз-Королевского гиганта (по материалам ChevronTexaco)

Тенгизско-Королевская карбонатная постройка, к которой приурочены залежи нефти, имеет трапециевидную форму: плоскую кровлю и крутые крылья. Ее размеры по изогипсе -5000 м приведены на рисунке 1, этаж нефтеносности превышает 1400 м. Карбонатный резервуар ограничивается глубоко-водными глинистыми (глинисто-карбонатными) отложениями бассейна, не являющимися коллекторами и играющими роль надежного латерального флюидоупора. Покрышкой для залежей нефти служит толща пород нижнепермского возраста, включающая глинисто-карбонатные отложения артинско-московского возраста и сульфатно-галогенные породы кунгурского яруса толщиной до 1655 м (рис. 1).

По последним данным сейсмических исследований и бурения скважин, в составе карбонатного массива выделены три основные части: платформенная, бортовая (рим, марджин) и крыльевая (склон). Коллектор разделяется на три стратиграфические единицы – объекты I, II, III по следующим факторам: наличием эффективной мощности; наличием туфов и карбонатно-глинистых вулканических отложений толщиной 40–50 м, изолирующих башкирско-серпуховско-окскую часть коллектора в пределах платформы от нижневизейско-турнейской; резко различными свойствами в различных интервалах коллектора; различиями в проницаемости и пористости коллекторов в разных объектах (рис. 3).

Объект I включает отложения башкирско-серпуховско-окского возраста и как бы облегает на склонах карбонатного массива нижневизейско-турнейский комплекс пород, выделенных в объект II. Объект III составляют девонские отложения.

В целом все три объекта образуют единую гидродинамическую систему, чему способствует наличие обширных трещиноватых зон в рифовых и биогермных постройках (рис. 2), окаймляющих платформу и непосредственно контактирующих с коллекторами I и II объектов, разделенных в пределах платформы «вулканом». Об этом свидетельствует единый характер падения пластового давления в процессе разработки залежи в разных ее частях: на платформе, на борту и на склонах, включая самую отдаленную погруженную северо-восточную часть месторождения в районе скважины Т-10.

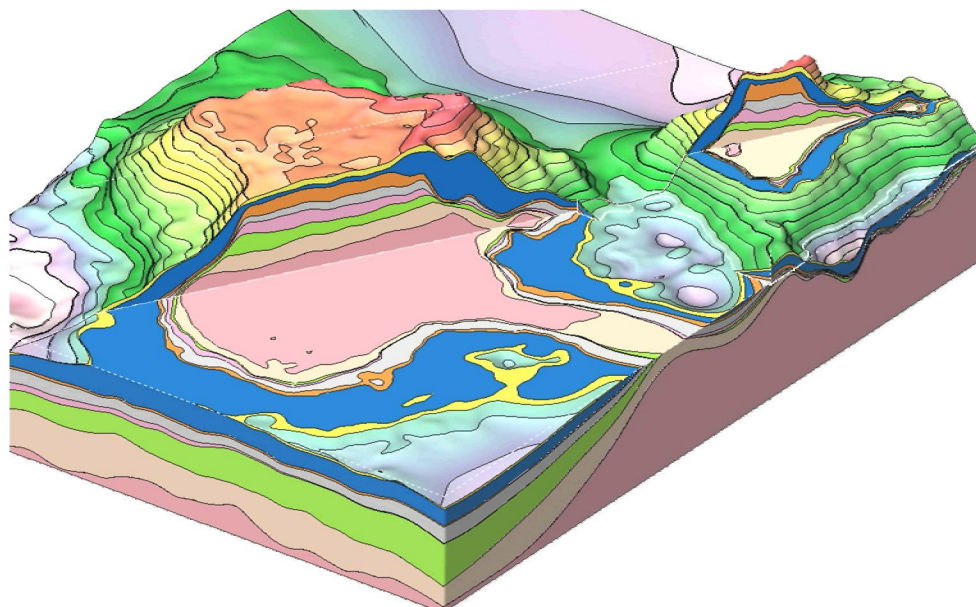


Рис. 2. Геологическая модель Тенгиз-Королевского гиганта (по материалам ChevronTexaco)

I объект является наиболее изученным как в плане литологофацимального анализа пород, так и в отношении продуктивности и эксплуатационной характеристики скважин. Башкирская часть разреза вскрыта в разных зонах и в разном объеме во всех скважинах (кроме скважины Т-18); серпуховские отложения – в 89 скважинах, окские – в 64 скважинах. Наибольшее количество пробуренных скважин и, следовательно, проведенных исследований приходится на платформенную часть структуры, тогда как склоны изучены менее детально.

В платформенной части породы I объекта сложены биокластовыми пакстоунами и грейнстоунами, водорослево-форамениферовыми известняками с прослойями ракушечниковых грейнстоунов и рудстоунов.

В пределах верхнего склона отложения крайне неоднородны и представлены неотсортированными лито-биокластовыми пакстоунами, толщами водорослевых и обломочных известняков. Породы неравномерно перекристаллизованы и доломитизированы.

В подножии склона отложения представлены тонкослоистыми карбонатно-глинистыми отложениями и мелкообломочными биокластовыми вакстоунами с прослойками пакстоунов.

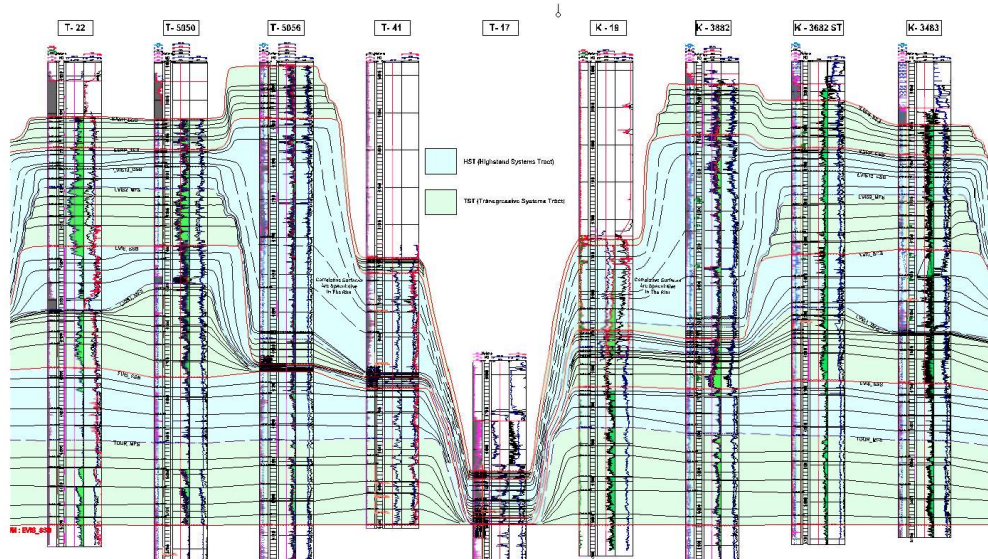


Рис. 3. Геолого-геофизическая корреляция пород Тенгиз-Королевского гиганта (по материалам Agip CSO, TCO, Eni)

В пределах первого объекта выделяется рим, характеризующийся местными буграми сейсмофаций и состоящий из кораллового и скелетного пакстоуна и локального микробиального баундстоуна башкирского и серпуховского возраста (T-5056, T-41, T-40, T-42, T-43). Для пород, слагающих рим, характерны субвертикальные трещины и каверны.

Породы башкирского яруса (по данным исследований скважины T-220) обладают повышенной пористостью. Практически по всему разрезу в грейнстоунах отмечается наличие межзерновой и внутризерновой пористости, реже следовой, в верхней части разреза поровое пространство увеличено за счет влияния процессов выплавления. Каверны приурочены, в основном, к обломочным разностям.

Структура Тенгиз по поверхности башкирских отложений (по кровле I объекта) высокоамплитудной изометричной формы. По оконтуривающей изогипсе -5000 м размеры поднятия составляют 22×23 км. Свод поднятия плоский, имеет отметки 4,1–4,2 км и под углом порядка одного градуса наклонен в юго-западном направлении. Крылья структуры достаточно крутые, углы наклона достигают $20\text{--}25^\circ$. Вблизи начала крутого склона свод поднятия осложнен цепочкой локальных поднятий, амплитудой 100–200 м, образующих рим. Цепочка локальных поднятий рима охватывает северо-западную, северную и северо-восточную части свода, в то время как на юге и юго-западе рим выражен гораздо меньше. Наименьшие отметки в области рима отмечены в северной части свода и составляют 3900–4000 м. Максимальная амплитуда поднятия по кровле башкира достигает 1100 м.

В результате сейсмостратиграфической интерпретации установлены рамки площадного распространения карбонатного коллектора, т.е. установлена ограничивающая линия, где карбонаты полностью замещаются на кар-

бонатно-глинистый разрез, не являющийся коллектором. Граница области распространения коллектора I объекта залегает на глубинах 5000–5300 м в восточной части структуры и 5200–5500 м – в западной.

Достаточно сложным является распределение толщин карбонатного коллектора. В пределах плоского свода суммарная толщина окско-башкирских отложений составляет в среднем 400–500 м. В северной и восточной части рима и склона толщина карбонатных образований I объекта резко возрастает до 650–800 м, главным образом за счет фаций баундстоуна серпуховского возраста. С своеобразное увеличение толщины карбонатных отложений отмечается и по западной периферии поднятия за крутым склоном. Здесь откартирована целая серия вздутий, расположенных параллельно линии распространения карбонатного коллектора и связанных, возможно, не только с баундстоунами серпуховского возраста, но и с некоторым увеличением толщин башкирских отложений в обломочных фациях подножия.

Неполным стратиграфическим разделом I и II объекта является пачка переслаивающихся туфоаргиллитов и карбонатно-глинистых отложений, называемая «вулканик», залегающая в кровле тульского горизонта. Эта пачка четко прослеживается в центральной части структуры и имеет толщину 40–50 м. В краевых частях Тенгизского массива толщина этой пачки уменьшается (T-41, T-44), а в нижней части склона увеличивается до 150–200 м (T-52, T-53). Рассматриваемые отложения повсеместно представлены вулканомиктовыми алевроаргиллитами и алевролитами с прослоями вулканомиктовых алевропесчаников, которые формировались за счет интенсивного размыва слаболитифицированных толщ вулканитов андезитового и андезито-дацитового состава.

Ниже «вулканика» залегают отложения нижнекаменноугольного (турнейско-ранневизийского) возраста, объединенные во II объект разработки.

Отложения *II объекта* вскрыты 42 скважинами как в платформенной части структуры, так и на склонах, при этом полностью пройдены в 24 скважинах, из которых T-52 и T-53 остаются за линией развития карбонатных коллекторов.

Отложения турнейского яруса толщиной 200–250 м характеризуются относительно однообразным составом. В целом отложения нижнего виза изучены только в платформенной части. Коллектор II объекта представлен биолитокластовыми пакстоунами с прослоями микросгустковых и водорослевых известняков, литокластовыми гранистоунами, литобиокластовыми и пеллонидными пакстоунами, реже вакстоунами с прослоями комковатосгустковых известняков. В верхах разреза породы часто перекристаллизованы и доломитизированы, участками сильно окремнены. Породы слабопроницаемы.

Структурная карта по поверхности II нефтегеологического объекта имеет структуру, подобную первому объекту.

По оконтуривающей изогипсе -5300 м, размеры составляют 24 × 21 км. Однако в ней нет четко выраженной полукольцевой цепочки поднятий в своде, т.е. рима. Плоский свод имеет отметку -4600 м, а в северной и западной части отмечены отдельные поднятия с глубинами залегания нижневизейских отложений 4500–4400 м. Максимальная амплитуда составляет 900 м. На отметках 5200–5300 м залегают преимущественно глинистые сейсмофации подножия, которые являются разделом между II и III объектами.

Распределение толщин во II объекте намного проще, чем для окско-башкирского комплекса. Наибольшая толщина отмечается в области плоско-

го свода – 650–700 м, а к периферии толщина резервуара уменьшается до 300–200 и даже 100 м.

Наименее изученным является *III объект* разработки, в стратиграфическом плане приуроченный к позднефранско-фаменским отложениям верхнего девона, вскрытый в разном объеме всего 25 скважинами. Девонский разрез вскрыт на разных участках месторождения. Породы представлены мелкозернистыми доломитизированными известняками, пелоидными и биокластовыми вакстоунами и пакстоунами с рассеянными брекчированными водорослевыми известняками. Пористость в целом низкая. Морфологические характеристики поверхности девонских отложений отличаются от верхних существенным расширением плоского свода (платформы) и уменьшением углов падения карбонатных отложений на флангах до 10–14°. Поднятие по III объекту оконтуривается изогипсой -5450 м и имеет форму почти правильной окружности с вырезанным северо-западным сектором и максимальную амплитуду 400–450 м. Размеры по взаимно-перпендикулярным северо-западной и юго-восточной осям составляют 20 × 13 км. Толщины III объекта рассматриваются при нижней границе, соответствующей оконтуривающей изогипсе и максимально возможному положению ВНК на отметке -5450 м. Максимальная толщина III объекта до 450–500 м отмечается в северной части платформы. Области повышенных значений толщин расположены полукольцом и соответствуют риму, четко выраженному по окско-башкирскому комплексу. К югу толщины плавно уменьшаются до 100 и менее метров (рис. 4).

Самой нижней, достоверно установленной отметкой получения нефти является отметка -5428,9 м (подошва опробованного интервала в скважине Т-10). Данные длительной эксплуатации с высоким суточным дебитом свидетельствуют о том, что нефть на данном участке может залегать намного ниже этой отметки. При испытании скважины Т-6846 открытым стволом, нижняя отметка получения нефти – -5461,8 м (по данным PLT). В скважине Т-47 при опробовании интервала (-5378–5459 м) получено 99 % воды, в скважине Т-6337 при отборе проб вода получена с отметки -5400 м.

На данном этапе геологической изученности девонской части разреза месторождения, принимая во внимание ограниченные данные опробования, нижняя граница нефтенасыщения принята условно на отметке -5450 м.

Поровые, каверново-поровые и трещинно-каверново-поровые коллекторы развиты в пределах платформы, включая бортовые части, а также на отдельных участках склона. Широкое развитие на склоне (микробиальные бандстоуновые постройки) получили трещинные коллекторы.

Наибольшие средние величины пористости пород (до 12 %) отмечены в башкирских и окских отложениях I объекта в сводовой и присводовой платформенной частях массива. При этом пористость отдельных интервалов разреза достигает 25 %. В окских отложениях, при сохранении тенденции распространения наибольших значений пористости в сводовой и присводовой частях платформы, обособлен участок (район скважины Т-109), где средняя пористость разреза составляет 13,5 %. С глубиной, а также к краям платформы и на большей части склона, происходит уменьшение пористости пород, значения которой в коллекторах II и III объектов заметно снижены (до 3–1 %).

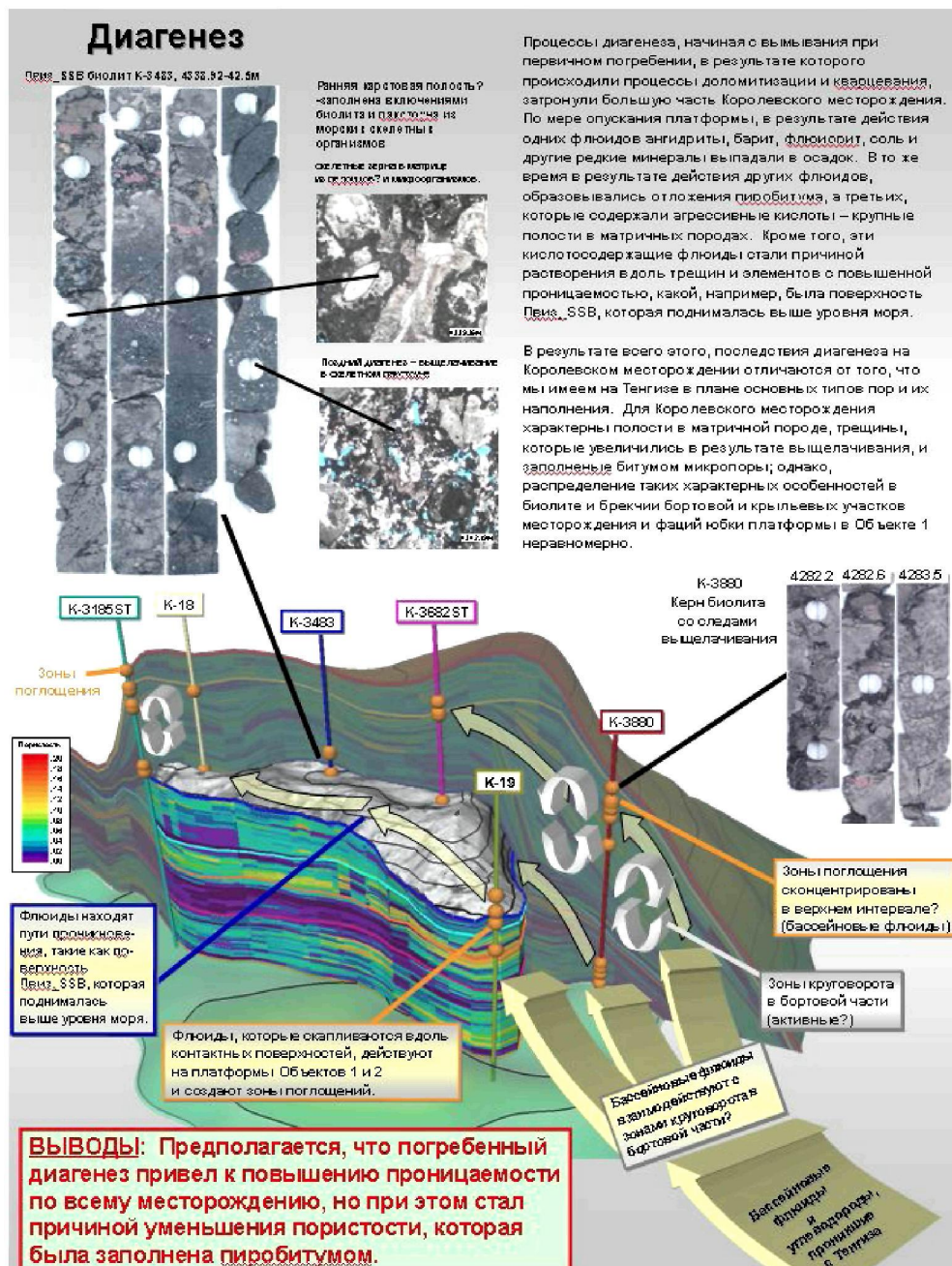


Рис. 4. Стадии литогенеза осадочных пород Тенгиз-Королевского нефтяного гиганта (по материалам Agip KCO, TCO, Eni)

Как правило, породы рифогенных и биогермных построек, окаймляющих платформенную часть (баундстоун), имеют низкую пористость (4 % и ниже), но при этом обладают большой проницаемостью, благодаря значительной трещиноватости.

Проницаемость башкирских отложений изменяется от $0,4 \times 10^{-3}$ (скв Т-120) до $340 \times 10^{-3} \text{ мкм}^2$ (Т-122), серпуховских отложений – от $0,13 \times 10^{-3}$ (Т-117) до $121,6 \times 10^{-3} \text{ мкм}^2$ (Т-102), окских – от $0,14 \times 10^{-3}$ (Т-119) до $26,5 \times 10^{-3} \text{ мкм}^2$

(Т-115). Проницаемость девонских отложений (Т-10) изменяется от $346,5 \times 10^3$ до 1976×10^{-3} мкм².

Исследования пластовой и разгазированной нефти выполнены в институте «Гипровостокнефть», Центре современных технологий компании «Корлабораториз» и КазНИГРИ.

Компонентный состав пластовой нефти по глубине залежи практически не изменяется. Нефти легкие, сернистые, малосмолистые, парафинистые. Легким составом нефти обусловлена низкая вязкостно-плотностная характеристика нефти в условиях пласта.

Особенностью нефтяного газа является высокое содержание сероводорода, составляющее для нефти в среднем 20,6 % мольных.

Вязкость пластовой нефти составляет от 25,67 до 25,15 МПа. Нефть имеет высокий коэффициент сжимаемости – 37,01 МПа.

Система находится в недонасыщенном состоянии, пластовое давление ($P_{пл} = 74,08$ МПа) превышает давление начала разделения ($P_{нас} = 25,67$ МПа) пластового флюида на две фазы, более чем на 48 МПа.

Значения основных параметров пластовой нефти:

- | | |
|--------------------------------|---------------------------|
| • пластовое давление: | 74,08 МПа; |
| • пластовая температура: | 126 °С; |
| • давление насыщения: | 25,67 МПа; |
| • коэффициент сжимаемости: | 37,01*10–41/МПа; |
| • плотность пластового флюида: | 630,8 кг/м ³ ; |
| • вязкость пластового флюида: | 0,173 мПа·с |

Свойства пластовой нефти месторождений Тенгиз и Королевское во многом похожи. Отличие наблюдается лишь по содержанию сероводорода в составе пластового флюида, содержание H₂S в составе пластового флюида месторождения Королевское несколько выше, чем на Тенгизе, превышение составляет около 2 % мольных. Нефтерастворенные газы состоят в основном из метана (51,29–55,27 % мол.), среди кислых компонентов присутствует углекислый газ – (более 3,0 % мол.), азот (около 1,0 % мол.), сероводород – на уровне 16,57 % мол.

С ростом глубины увеличивается и температура. При этом повышение давления увеличивает плотность и вязкость нефти, а повышение температуры их уменьшает. В результате плотность и вязкость пластовой нефти по высоте залежи остаются практически постоянными. Расчеты показывают, что на отметке -4300 м плотность пластовой нефти равна 620,6 кг/м³, а вязкость – до 0,232 мПа·с, на отметке -5300 м – соответственно 617,6 кг/м³ и 0,2296 мПа·с.

По результатам исследований средняя плотность пластовой нефти – 620,6 кг/м³, давление насыщения нефти газом при пластовой температуре равно 25,26 мПа, газосодержание при однократном разгазировании пластовой нефти – 585,9 м³/т, динамическая вязкость пластовой нефти – 0,232 мПа·с. После дифференциального разгазирования плотность нефти – 785,0 кг/м³, газосодержание – 514,5 м³/т, объемный коэффициент – 1,936, динамическая вязкость разгазированной нефти – 2,10 мПа·с. (табл.). По товарной характеристике нефть сернистая (массовое содержание серы 0,95 %), малосмолистая (1,02 %), парафиновая (3,92 %). Объемный выход светлых фракций при разгонке до 300 °С – 70 %.

Таблица

**Экспериментальные исследования дифференциального
разгазирования нефти. Пластовая температура 109,4 °С, карбон**

Давление, МПа	Газосодержание м ³ /м ³		Объемный коэффици- ент нефти	Вязкость нефти, мПа.сек	Объемный коэффициент газа × 10 ²	Вязкость газа, мПа/сек
	Газ выделив- шийся	Газ в растворе				
82,35	0	403,6	1,932	0,2200	—	—
81,03	0	403,6	1,937	0,2166	—	—
75,94	0	403,6	1,955	0,2052	—	—
72,50	0	403,6	1,968	0,1979	—	—
69,05	0	403,6	1,982	0,1908	—	—
65,60	0	403,6	1,997	0,1839	—	—
62,15	0	403,6	2,013	0,1773	—	—
58,71	0	403,6	2,030	0,1710	—	—
55,26	0	403,6	2,048	0,1649	—	—
48,36	0	403,6	2,088	0,1533	—	—
41,47	0	403,6	2,136	0,1425	—	—
34,58	0	403,6	2,193	0,1324	—	—
31,13	0	403,6	2,227	0,1277	—	—
28,37	0	403,6	2,257	0,1240	—	—
27,58	0	403,6	2,267	0,1230	—	—
26,16	0	403,6	2,284	0,1211	—	—
25,26	0	403,6	2,296	0,1200	—	—
24,74	18,8	384,8	2,237	0,1237	0,459	0,034
23,32	63,9	339,7	2,097	0,1361	0,482	0,033
21,90	102,2	301,4	1,980	0,1472	0,506	0,032
20,48	135,3	268,3	1,879	0,1573	0,536	0,031
17,64	190,6	213,0	1,713	0,1761	0,615	0,029
16,22	214,1	189,5	1,642	0,1854	0,668	0,028
14,80	235,6	168,0	1,578	0,1953	0,734	0,027
13,38	255,4	148,2	1,520	0,2061	0,817	0,026
11,96	273,8	129,8	1,465	0,2182	0,923	0,024
10,54	291,0	112,6	1,415	0,2320	1,060	0,023
9,13	307,2	96,4	1,367	0,2478	1,243	0,022
7,71	322,6	81,0	1,321	0,2660	1,500	0,021
6,29	337,4	66,2	1,277	0,2870	1,879	0,020
4,87	351,8	51,8	1,234	0,3112	2,493	0,019
3,45	366,4	37,2	1,190	0,3390	3,646	0,018

Примечание: объем газа при 20 °С и 0,1013 мПа по ГОСТ 2939-63 за единицу принят 1 м³ товарной нефти при 20 °С и 0,1013 мПа

Мольное содержание компонентов в смеси газов, выделившихся из нефти при дифференциальном разгазировании в рабочих условиях: сероводорода – 16,12 %, азота – 1,34 %, метана – 57,66 %, этана – 11,49 %, пропана – 5,99 %, высших углеводородов (пропан + высшие) – 9,46 %, гелия – 0,02 %. Относительная плотность газа по воздуху – 0,869.

Воды девонского комплекса по свойствам и составу имеют седиментационную природу с участием в формировании глубокозалегающих горизонтов пресных глубинных вод различного генезиса. Они характеризуются плотностью 1030–1031 кг/м³ и минерализацией 37,5–44,7 г/л. Общая жест-

кость варьирует от 79 до 170 мг-экв/л, рН среды нейтральная – до 6,98. Генетический тип вод по классификации В.А. Сулина хлоркальциевый, с преобладанием в составе вод ионов хлора (49,5 %) и ионов натрия (49,0 %), воды сильно метаморфизованы, практически бессульфатны, что характерно для вод подсолевого комплекса. Глубинное происхождение вод подтверждается присутствием в их составе лития (до 14 мг/л), который, наряду с цезием, является индикатором данных вод. Из микрокомпонентов, помимо лития, определялись бор, бром, йод, аммоний и стронций, но содержание их в водах оказалось незначительным. Концентрация сероводорода составила 1,52 г/л. Коэффициент сжимаемости пластовых вод рассчитан эмпирическим путем и составляет $4,1 \cdot 10^{-5}$. Коэффициент динамической вязкости вод, рассчитанный для пластовой температуры 100 °C, равен 0,282 мПа·с. Воды агрессивны по отношению к бетону и цементу и обладают весьма высокой коррозионной активностью к стали и металлам (медь, цинк, железо и др.).

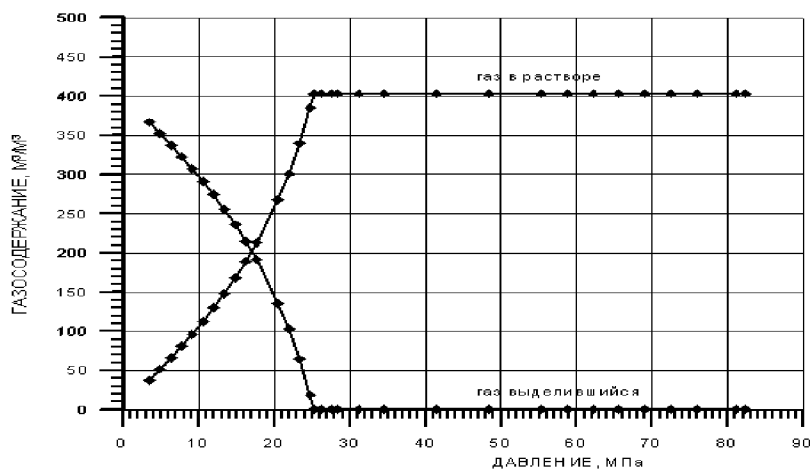


Рис. 5. Зависимость газосодержания от пластового давления.
Месторождение Тенгиз

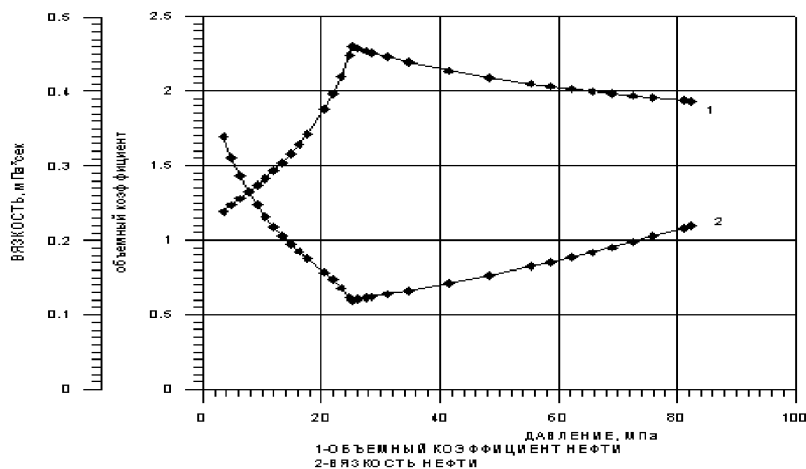


Рис. 6. Зависимость объемного коэффициента вязкости нефти
от пластового давления. Месторождение Тенгиз

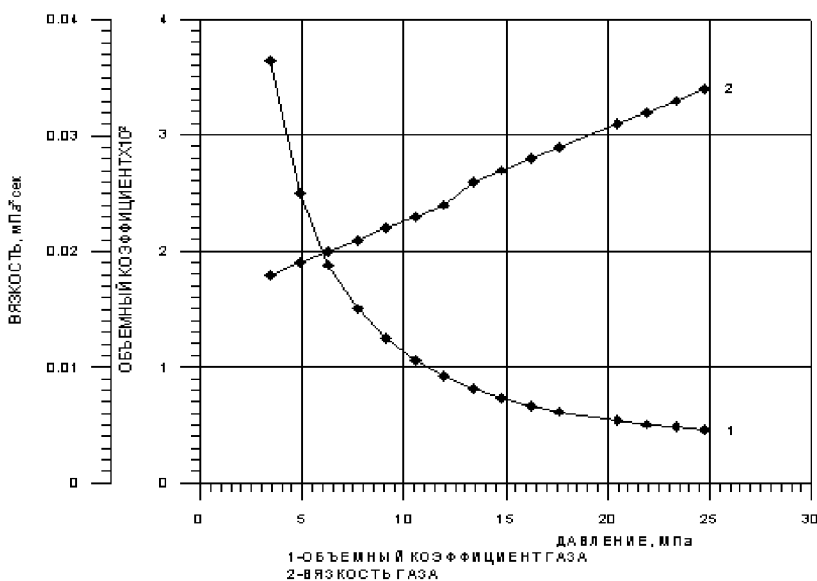


Рис. 7. Зависимость вязкости и объемного коэффициента газа от пластового давления. Месторождение Тенгиз

Таким образом, палеозойские отложения северной акватории Каспийского моря возможно подразделить по характеру нефтегазоносности на две геохимические зоны. Северная зона, в которой развита южная часть Прикаспийской солянокупольной впадины, должна содержать в палеозое сероводородоносные газы и конденсат. Южная зона, соответствующая аналогу Скифской плиты, должна содержать в палеозое легкие нефти. Подтверждениями таких прогнозов являются открытия в палеозое углеводородных залежей на Астраханском своде, Тенгиз-Королевского и Кашаганского нефтяных гигантов.

Работа выполнена в рамках государственного контракта № П535 от 05.08.2009 г. и № П 353 от 30.07.2009 г. на выполнение поисковых научно-исследовательских работ для государственных нужд.

Библиографический список

1. *Касьянова Н. А.* Новые данные о строении и перспективах нефтегазоносности акватории северо-западного Каспия / Н. А. Касьянова. – М. : Геологический факультет МГУ, 1998.
2. *Серебряков А. О.* Морская инженерная геология / А. О. Серебряков. – Астрахань : Изд. дом «Астраханский университет», 2008. – 316 с.
3. *Серебряков А. О.* Синергетика разведки и разработки нефтяных и газовых месторождений-гигантов с кислыми компонентами / А. О. Серебряков. – Астрахань : Изд. дом «Астраханский университет», 2006. – 359 с.
4. *Серебряков А. О.* Технология инженерно-геологических изысканий при морских геологоразведочных работах / А. О. Серебряков. – Астрахань : Изд. дом «Астраханский университет», 2006. – 250 с.
5. *Серебрякова О. А.* Геологическое строение, инженерно-геологические свойства и нефтегазоносность донных пород-грунтов Каспийского моря / О. А. Серебрякова, А. О. Серебряков. – Астрахань : Изд. дом «Астраханский университет», 2010. – 320 с.